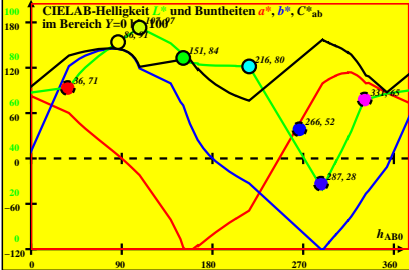


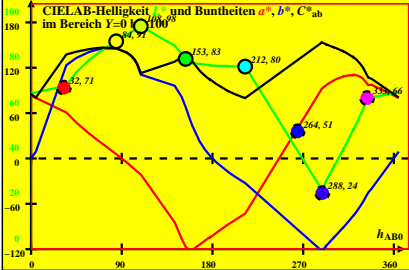
CIE-P60-Daten von -Ostwald-Farben von maximalem Buntwert C_{AB}
 $Y_w=100, Y_m=520_770, B_m=380_520$



0-000030-L0

DG040-3A_3_1

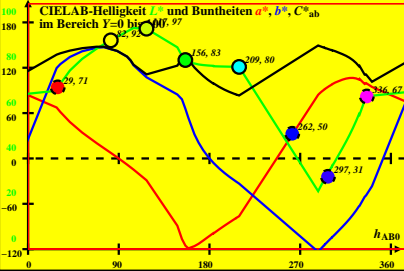
CIE-P55-Daten von -Ostwald-Farben von maximalem Buntwert C_{AB}
 $Y_w=100, Y_m=520_770, B_m=380_520$



0-000030-L0

DG040-3A_3_2

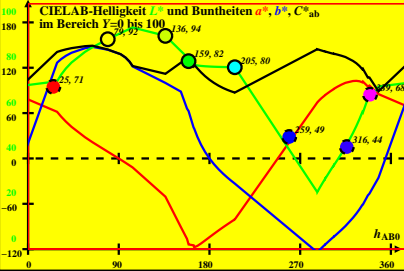
CIE-P50-Daten von -Ostwald-Farben von maximalem Buntwert C_{AB}
 $Y_w=100, Y_m=520_770, B_m=380_520$



0-000030-L0

DG040-3A_3_3

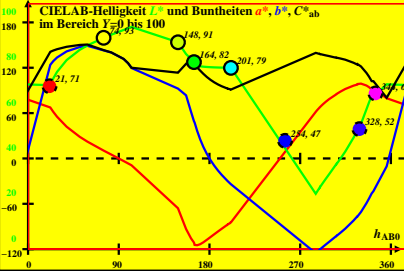
CIE-P45-Daten von -Ostwald-Farben von maximalem Buntwert C_{AB}
 $Y_w=100, Y_m=520_770, B_m=380_520$



0-000030-L0

DG040-3A_3_4

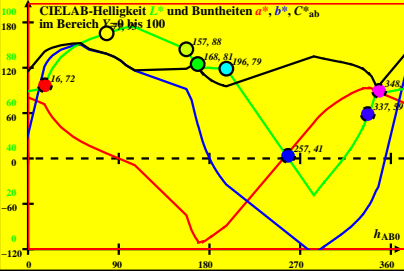
CIE-P40-Daten von -Ostwald-Farben von maximalem Buntwert C_{AB}
 $Y_w=100, Y_m=520_770, B_m=380_520$



0-000030-L0

DG040-3A_3_5

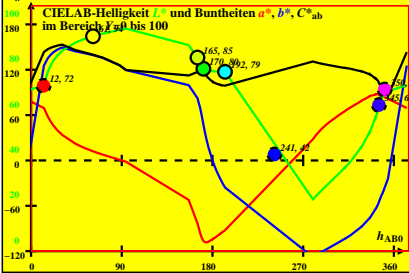
CIE-P35-Daten von -Ostwald-Farben von maximalem Buntwert C_{AB}
 $Y_w=100, Y_m=520_770, B_m=380_520$



0-000030-L0

DG040-3A_3_6

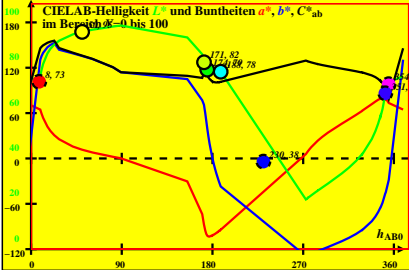
CIE-P30-Daten von -Ostwald-Farben von maximalem Buntwert C_{AB}
 $Y_w=100, Y_m=520_770, B_m=380_520$



0-000030-L0

DG040-3A_3_7

CIE-P25-Daten von -Ostwald-Farben von maximalem Buntwert C_{AB}
 $Y_w=100, Y_m=520_770, B_m=380_520$



0-000030-L0

DG040-3A_3_8